

## NaY 및 LiY Zeolite로 부터 吸着質의 热脫着

文世基·柳慶玉·金炯辰

漢陽大學校 工科大學 化學工學科

(접수 1976. 3. 30)

## Thermal Desorption of Adsorbate from NaY and LiY Zeolite

Sei-Ki Moon, Kyung-Ok Yoo and Hyung-Jin Kim

Department of Chemical Engineering, College of Engineering

Hanyang University, Seoul 133, Korea

(Received March 30, 1976)

### 要 約

吸着質-吸着媒間의 相互作用에 관한 정보를 얻기위하여 NaY 및 LiY로부터 benzene, cyclohexane, methanol 및 ethanol의 热脫着에 대하여 研究하였다. 여러가지 一定昇溫率로 脫着溫度를 50°C로부터 400°C까지 昇溫시키면서 热傳導度 cell을 利用하여 吸着質의 脱着曲線을 얻었다. 热脫着速度는 吸着量에 대하여 1次라 가정하여 脱着曲線으로부터 活性化에너지 구하였다. 實驗結果로부터 炭化水素은 NaY보다 LiY와 더강력한 吸着을 하고 있으며 benzene은 cyclohexane보다 ethanol은 methanol보다 zeolite에 대한 作用力이 크다는것을 알았다. 또한 吸着量이 減少함에 따라 benzene의 脱着活性화에너지는 比較的 급격히 增加하나 alcohol의 경우에는 완만히 增加함을 알았다.

### Abstract

The thermal desorption of benzene, cyclohexane, methanol and ethanol from NaY and LiY zeolites has been studied to obtain information on the adsorbate-adsorbent interaction. The desorption rates of these hydrocarbons were measured with thermal conductivity cell increasing the desorption temperature from 50° to 400°C with various constant heating rates. Activation energy of desorption was determined from the desorption curve, assuming the desorption rate is first order with respect to the surface coverage. The activation energy of benzene increased rapidly but that of alcohol did gradually as the surface coverage decreased. Experimental results showed that these four hydrocarbons were strongly adsorbed on LiY rather than NaY. Data also revealed that the interaction of benzene with zeolites was stronger than that of cyclohexane and the interaction of ethanol was stronger than that of methanol.

## 1. 緒論

Zeolite触媒에 관한研究에는 吸着特性<sup>1~3)</sup> E. S. R에 대한表面特性<sup>4)</sup>, 接觸分解反應에 의한触媒의 선택성<sup>5)</sup>, 热安定性<sup>6,7)</sup> 및活性點<sup>8,9)</sup> 등에 관한研究가 있다. 특히 NaY-benzene, cyclohexane系吸着의 경우吸着에너지와活性化에너지와热脫着活性化에너지 사이에는 비례관계가 있다는 것을 알았다<sup>10)</sup>. 따라서热脫着研究는 其他의 여러가지研究方法과 더불어触媒特性을研究하는데重要한 역할을 할 것으로 생각된다. 本研究에서는 NaY 및 NaY의 Na<sup>+</sup>를 Li<sup>+</sup>로交換시킨 LiY에 대한 benzene, cyclohexane, methanol 및 ethanol의 脱着曲線을 얻고 이로부터脱着活性化에너지를 구하여吸着媒-吸着質間의特性을比較検討하였다.

## 2. 實驗裝置 및 方法

本實驗에서 使用한裝置는 Fig. 1 같다.

自動溫度프로그램이 부착된電氣爐를 使用하여一定昇溫率로反應器內의溫度를時間에 대하여直線的으로上昇시켰으며反應器(10mmφ×6mm)는stainless steel로製作하여使用하였다. 反應器出口에 T.C.D. (thermal conductivity

detector cell)를 부착하여溫度上昇에 따른吸着質의脫着曲線을얻을수있도록하였고溫度測定을 위하여反應器와材質이 같은 보호관내에보정된 열전대를 삽입하여反應器의同一한位置에놓았다. 헬륨ガス를充分히乾燥시킨silica-gel trap을통과시켜제습하여운반기체로使用하였다. 한편使用한吸着質methanol, ethanol(日本, 林純藥工業株式會社製)과benzene 및cyclohexane(Merck製)는特級試藥이었으며zeolite試料는union carbide의SK-40으로써단세포의構造는(NaAlO<sub>2</sub>)<sub>56</sub>(SiO<sub>2</sub>)<sub>136</sub>·xH<sub>2</sub>O이다<sup>12)</sup>. Li<sup>+</sup>이온交換方法은前報<sup>12)</sup>에서와같으며이온交換率은約80%程度이었다. NaY 및 LiY zeolite를 예비건조한 후 성형하고 다시30~50mesh로분쇄분급하여헬륨기류중에서500°C에서건조시킨후100mg을취해反應器내에충진(10mmφ×3~4mm)하고다시운반기체(헬륨)을통과시키면서400°C정도에서5시간재건조시켰다. 운반기체의線速을14cm/sec(反應器基準)로고정시키고反應器의溫度를50°C로一定히유지시킨다음micro-syringe를使用하여예열기로100°C정도가열한試料注入口에吸着質約10μl를注入하여吸着媒에氣相吸着시키고흡착여분량을기록계로검지하였다. 30分程度같은溫度에서운반기체를계속통과시키다음프로그램을作動시켜一定定率로昇溫시키면서脫着曲線과昇溫線을동시에얻었다.

## 3. 實驗結果 및 考察

### 3-1 理論式

触媒細孔內의擴散 및吸着質의再吸着을무시할수있다고하면脫着速度式은

$$-\dot{\theta} = -\frac{d\theta}{dt} = k_d\theta \quad (1)$$

로주어지며, 다시정리하면

$$\ln\left(-\frac{\dot{\theta}}{\theta}\right) = -\frac{Ed}{RT} + \ln k_o \quad (2)$$

와같이된다.一定昇溫率로昇溫시킬경우

$$T = To + \beta t \quad (3)$$

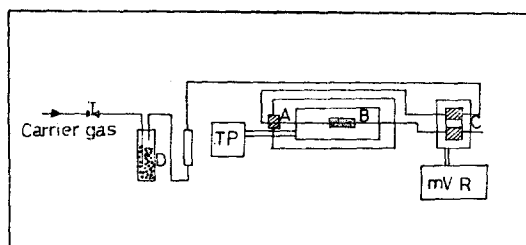


Fig. 1. Schematic diagram of experimental apparatus.  
 A : injection port, C : T.C.D. Cell,  
 B : reactor, D : dryer  
 R : recorder, TP : temperature  
 programmer.

이고 식(1), (3)에서

$$-\frac{d\theta}{dT} = \frac{k_d}{\beta} \theta \quad (4)$$

로 쓸 수 있다.

식(4)에 Arrhenius식을 적용하면

$$-\frac{d\theta}{dT} = \frac{k_o \theta}{\beta} \exp(-E_d/RT) \quad (5)$$

이고 脱着速度가 最大인 點, 즉

$$\frac{d^2\theta}{dT^2} = 0$$

일때의 溫度를  $T_m$ 이라하면 식(5)로 부터

$$k_d(T_m) = \frac{\beta E_d}{RT_m^2} \quad (6)$$

을 얻고 다시 정리하면

$$\ln\left(\frac{T_m^2}{\beta}\right) = \frac{E_d}{RT_m} + \ln\left(\frac{E_d}{K_o R}\right) \quad (7)$$

로된다. 식(7)에서 보면 昇溫率  $\beta$ 를 變化시키면서 얻은 脱着曲線의 最大點에 대응하는 溫度  $T_m$ 을 求하여  $\ln(T_m^{-2}/\beta)$  对  $T_m^{-1}$ 을 plot하고 直線性이 보장될 경우 直線의 기울기와 절편으

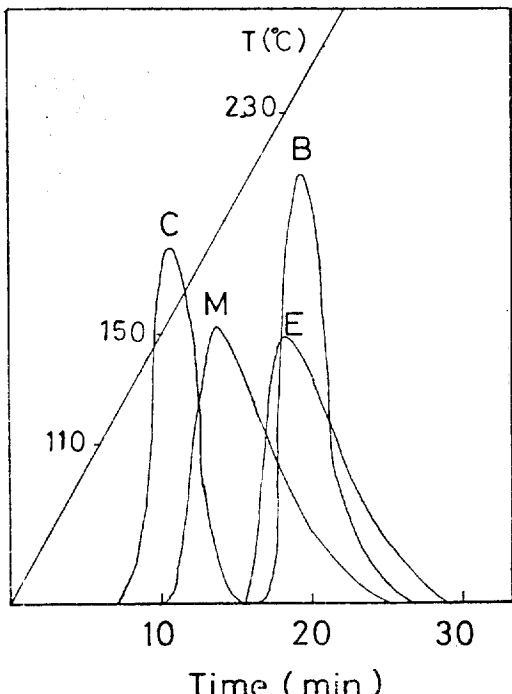


Fig. 2. Typical thermodesorption curves of benzene (B), cyclohexane (C), ethanol (E), methanol (M) on NaY ( $\beta=10^\circ\text{C}/\text{min}$ , adsorption temperature:  $50^\circ\text{C}$ , Chart speed: 3mm/min).

로부터  $E_d$ 와  $K_o$ 를 求한다.

### 3-2 結果 및 考察

昇溫率  $\beta=10^\circ\text{C}/\text{min}$ 일 때 NaY吸着質系의 대표적인 热脫着曲線과 昇溫線을 Fig. 2에 도시하였다.

또한 昇溫率  $\beta$ 를  $6, 10, 15, 20^\circ\text{C}/\text{min}$ 로 變化시키면서 吸着媒로 NaY 및 LiY를 使用하여 benzene, cyclohexane, methanol 및 ethanol 등을 热脫着시켜 얻은 脱着曲線으로부터 이曲線의 最大點에 대응하는 溫度  $T_m$ 을 구하여 식(6)에 의하여  $\ln\left(\frac{T_m^2}{\beta}\right)$ 과  $T_m^{-1}$ 과의 관계를 plot하였다.

Fig. 3에서 보는 바와 같이 비교적 좋은 直線性을 나타내고 있는 것으로 보아 식(6)이 잘 적용될 수 있음을 알았으며 이直線의 기울기와 절편으로부터 脱着活性화에너지와 frequency factor (반도인자)를 구하였다. (Table 1)

한편 吸着溫度를  $50^\circ\text{C}$ 로 一定히 維持하면서 얻은同一한系의 脱着曲線의 面積은 昇溫率의 變化에 關係없이 거의 一定함을 實驗에 의하여 확인하고 脱着曲線의 各點의 溫度에 대응하는曲線의 面積을 도식적분에 의하여 구하고 식(2)에 의하여  $\ln\left(\frac{I}{\phi}\right)$ 과  $T^{-1}$ 과의 關係를 plot하였다.

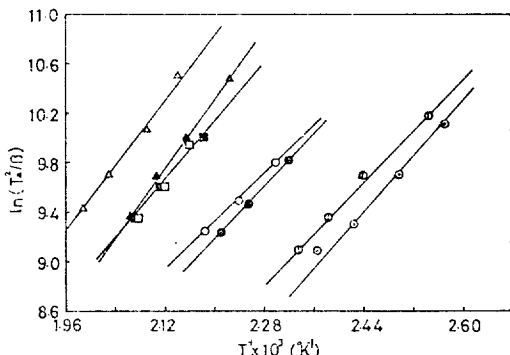


Fig. 3. Plots of  $\ln(T_m^2/\beta)$  versus  $1/T_m$ .

- |               |                      |
|---------------|----------------------|
| ○ : NaY-MtOH, | △ : NaY-benzene,     |
| □ : NaY-EtOH, | ○ : NaY-cyclohexane, |
| ● : LiY-MtOH, | ▲ : LiY-EtOH,        |
| ■ : LiY-EtOH, | ◎ : LiY-cyclohexane. |

(Figs. 4~7) 여기서 I는 주어진 温度 T에 대응하는 曲線의 기선으로부터의 높이이며 이것은 脱着速度 ( $-d\theta/dt$ )에 비례하는 값이다. (Fig. 8)

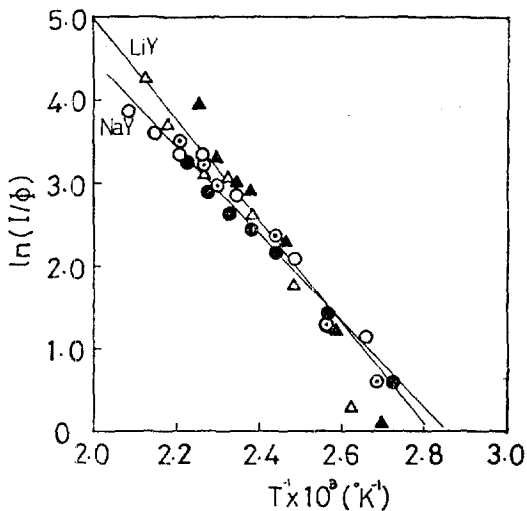


Fig. 4. Plots of  $\ln(I/\phi)$  versus  $1/T$  from heating rate variations for thermal desorption of cyclohexane on NaY and LiY.  
 NaY : —○— ( $\beta=20$ ), —●— ( $\beta=15$ ),  
 —●— ( $\beta=10$ ).  
 LiY : —△— ( $\beta=20$ ), —▲— ( $\beta=15^{\circ}\text{C}/\text{min}$ .).

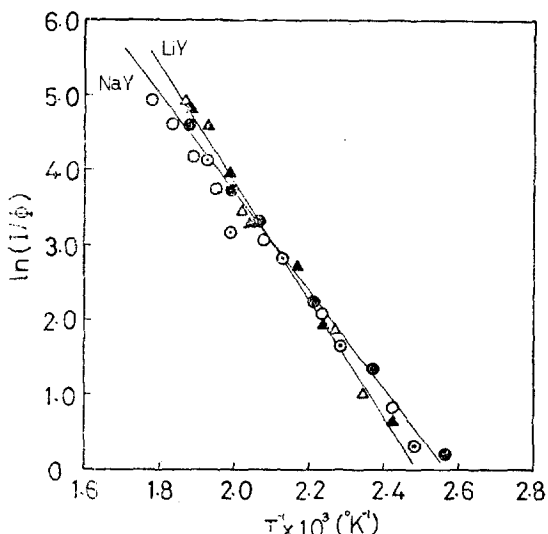


Fig. 5. Plots of  $\ln(I/\phi)$  versus  $1/T$  from heating rate variations for thermal desorption of benzene on NaY and LiY.  
 NaY : —○— ( $\beta=20$ ), —●— ( $\beta=15$ ),  
 —●— ( $\beta=10$ ).  
 LiY : —△— ( $\beta=20$ ), —▲— ( $\beta=15^{\circ}\text{C}/\text{min}$ .).

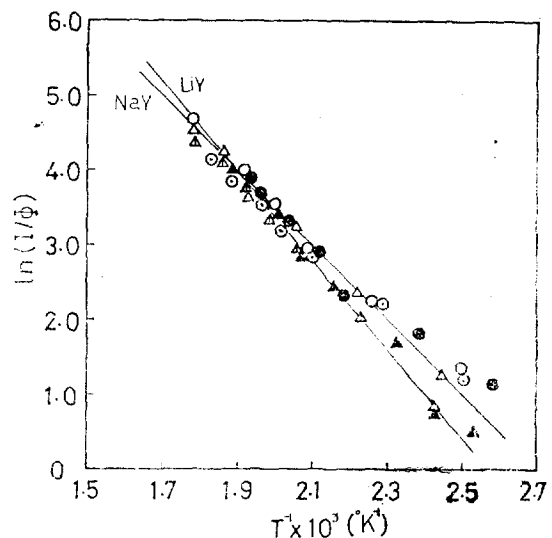


Fig. 6. Plots of  $\ln(I/\phi)$  versus  $1/T$  from heating rate variations for thermal desorption of ethanol on NaY and LiY.  
 NaY : —○— ( $\beta=20$ ), —●— ( $\beta=15$ ),  
 —●— ( $\beta=10^{\circ}\text{C}/\text{min}$ .).  
 LiY : —△— ( $\beta=20$ ), —△— ( $\beta=15$ ),  
 —▲— ( $\beta=10^{\circ}\text{C}/\text{min}$ .).

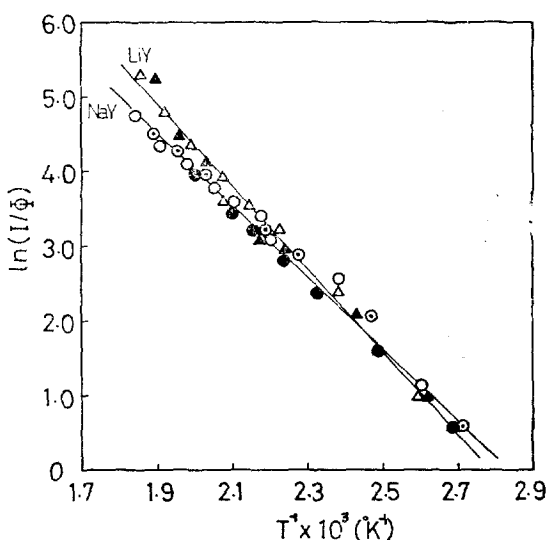


Fig. 7. Plots of  $\ln(I/\phi)$  versus  $1/T$  from heating rate variations for thermal desorption of methanol on NaY and LiY.  
 NaY : —○— ( $\beta=20$ ), —●— ( $\beta=15$ ),  
 —●— ( $\beta=10$ ).  
 LiY : —△— ( $\beta=20$ ), —▲— ( $\beta=15^{\circ}\text{C}/\text{min}$ .).

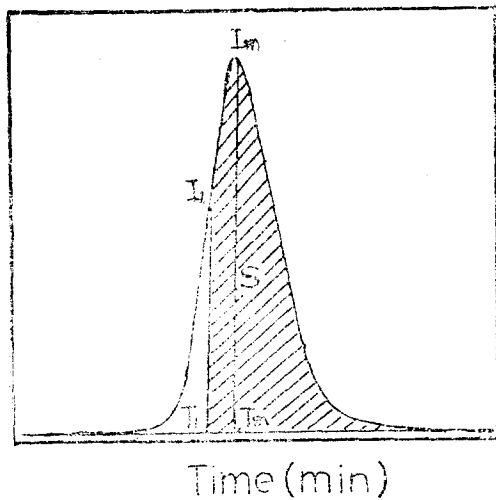


Fig. 8. Thermal desorption curve.

$I_m$ : maximum peak height,  
 $I$ : peak height at temperature  $T(t_1)$   
 $S_t$ : peak area ( $= \int_{t_0}^{\infty} I(t) dt$ ).

또한 Fig. 8의 曲線의 全面積을  $S_T$ , 사선부분의 面積을  $S_t$ 라 할 때  $\phi = \frac{S_t}{S_T}$ 이며 이 값은 吸着率( $\theta$ )에 비례한다. 즉 面積  $S_t$ 는 임의時間  $t$ 에서 吸着剤에 吸着되어 있는 吸着質의 量에 비례하는 값을 나타낸다.

Fig. 4에서 Fig. 7까지는 NaY 및 LiY에 대한 benzene, cyclohexane, methanol 및 ethanol의 각 昇溫率에 따른 脱着曲線으로부터 얻은 결과

Table 1. Activation energies of desorption (Adsorption temperature,  $T_{ad}=50^\circ\text{C}$ ).

System	$E_d$ (kcal/mol)	
	form Eq. (2)	from Eq. (7)
NaY-cyclohexane	10.5	10.4
LiY-cyclohexane	12.3	11.2
NaY-benzene	13.2	13.0
LiY-benzene	14.2	15.6
NaY-ethanol	10.0	11.4
LiY-ethanol	12.1	13.1
NaY-methanol	9.5	9.9
LiY-methanol	11.1	10.6

를 식 (2)에 의하여 도시한 것이다. 同一系의 경우 昇溫率  $\beta$ 에 關係 없이 거의 같은 直線上에 있음을 알 수 있었다. 이 直線의 기울기로부터 식 (2)에 의하여 脱着活性化에너지자를 구하였으며 식 (6)에 의하여 얻은 결과와 함께 Table 1에 표시하였다.

Table 1에서 보면 식 (2)와 식 (6)에 의하여 얻은 脱着活性化에너지자가 거의 일치하는 값을 나타내고 있는데 이것은 昇溫率  $\beta$ 를 여러 가지로 變化시킬 수 없는 경우 식 (2)에 의하여 비교적 쉽게活性화에너지자를 구할 수 있음을 의미한다. 한편 NaY와 LiY를 比較하면 모든 吸着質의 경우 LiY쪽이 脱着活性化에너지자가 커으며 同一한 吸着媒의 경우 benzene쪽이 cyclohexane에 比하여 脱着活性化에너지가 더 큰 것은 거의 같은 편극을 갖고 있음에도 불구하고 양이온에 대한 benzene의  $\pi$ 結合에 의한 電場의 영향이 cyclohexane보다 큰 결과인 것으로 생각된다. 또한 methanol과 ethanol의 경우에는 radical이 긴쪽이 hydroxyl基쪽으로 電子를 밀어주는 경향이 커서 ethanol이 methanol에 비하여 비교적 강하게 作用하는 것으로 생각된다.

한편 吸着率과 脱着活性化에너지와의 관계를 찾아보기 위하여 吸着溫度를  $50^\circ\text{C} \sim 135^\circ\text{C}$ 까지 變化시키면서 吸着質을 注入하여 氣相吸着시키고 30分정도 운반기체를 통과시킨 후 냉각시켜  $50^\circ\text{C}$ 로一定히한 다음  $\beta=15^\circ\text{C}/\text{min}$ 의 昇溫率로 昇溫시키면서 脱着曲線을 얻었다. 역시 일정한 吸着溫度에서의 脱着曲線의 面積은 거의 일정하였고 脱着曲線의 面積과 注入 吸着質量과의 關係로부터 검증선을 얻어 이로부터 吸着媒에 吸着된 吸着質의 量을 구하였으며 吸着溫度變化에 따른 脱着曲線으로부터 식 (2)에 의하여 구한 脱着活性化에너지와 吸着媒 단위질량당 吸着된 吸着質의 質量과의 關係를 Fig. 9에 plot하였다.

benzene-zeolite系의 경우는 吸着量이 감소함에 따라 급격히活性化에너지가 증가하는 경향을 보이고 있으며 alcohol-zeolite系의 경우는 吸着率에 따라 비교적 완만한 變化를 나타내고 있다. 이러한結果는 Fig. 4~7에서 보는 바와 같이 吸着媒에 남아있는 吸着質의 量이 적은 領域, 즉

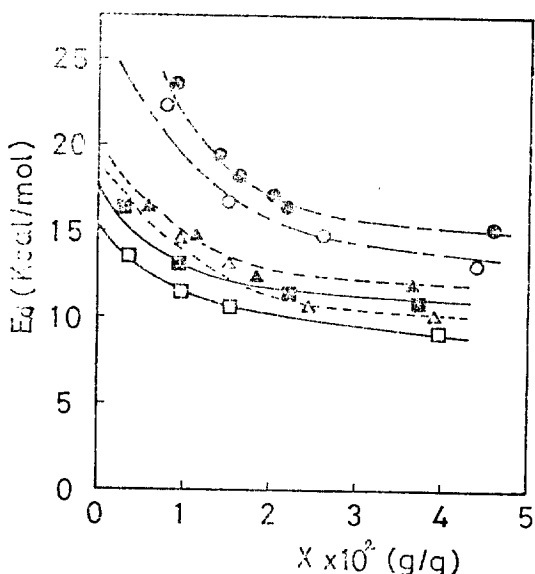


Fig. 9. Activation energies of desorption for benzene  
 (○ : NaY, ● : LiY), ethanol (△ : NaY,  
 —▲— : LiY) and methanol (□ : NaY,  
 ■ : LiY).

$\ln\left(\frac{I}{\phi}\right)$ 의 값이 큰領域에서는  $T^{-1}$ 의 감소함에 따라  $\ln\left(\frac{I}{\phi}\right)$ 의 구배가 비교적 커지는 경향을 나타내고 있는 것과一致하는 것으로 생각된다. 脱着曲線의最大點에對應하는溫度  $T_m$ 은 Fig. 4~7에서의直線의中間領域에存在하는 값이고 이근방에서는吸着率의變化에도 불구하고直線性이 대단히 좋은 것으로 보아 Fig. 3에서는吸着率變化에의한영향이나타나지 않는 것으로 생각된다.

또한 NaY-benzene系에서吸着率이근사적으로 0일때活性化에너지 25kcal/mol정도이고 이때의微分吸着熱 17kcal/mol<sup>13)</sup>과비교하면約 7kcal/mol정도크며脫着活性化에너지가吸着에너지보다크다는것을意味한다. 또한吸着率이 대단히 적은 범위에서ethanol의脫水反應活性化에너지 22kcal/mol<sup>14)</sup>과Fig. 9에서의 19kcal/mol과비교하면거의脫水反應活性化에너지와 같음을 알수 있다.

## 4. 結論

1. 本實驗에서 使用한 모든吸着質에 대한熱脫着活性化에너지  $\text{LiY}$ 쪽이  $\text{NaY}$ 쪽에비하여크다.

2. 同一한吸着媒에 대하여  $\pi$ 結合을하고있는benzene이 cyclohexane에비하여 脱着活性化에너지가컸으며 radical이긴 ethanol쪽이 methanol에비하여비교적강력하게作用하고있는것으로생각된다.

3. zeolite-benzene系의경우에는吸着率이감소함에따라 脱着活性化에너지가급격히증가하나alcohol의경우에는비교적완만한증가를나타내고있음을알았다.

## Nomenclature

$E_d$  activation energy of desorption(kcal/mole)

$I$  peak height(cm)

$k_d$  rate constant of desorption(sec<sup>-1</sup>)

$S$  peak area(cm<sup>2</sup>)

$S_T$  total peak area(cm<sup>2</sup>)

$t$  time(sec)

$T_m$  temperature at the maximum peak(°K)

$X$  amount adsorbed(g/g)

$\beta$  constant heating rate(°C/sec)

$\theta$  surface coverage(—)

$\phi$   $S/S_T$ (—)

## References

1. Y. Y. Huang, *J. Catal.*, **30**(1973), 187.
2. Y. Y. Huang, *J. Amer. Chem. Soc.*, **25**(1973), 6636.
3. J. S. Orden, *Chem. commun.*, (1971), 978.
4. N. N. T. Khomirava, I. V. Nikolaeva and K. V. Topchieva, *J. Catal.*, **29**(1973), 105.

5. Kazuo Tsutsumi, Shigeo Fuji and Hirshi Takahashi, *J. Catal.*, **24**(1972), 146.
6. S. Matsumoto, M. Nitta, K. Ogawa and K. Aomura, *Bulletin. Chem. Soc., (Japan)* **48**(4)(1975), 1169.
7. M. Nitta, K. Ogawa and K. Aomura, *Bulletin Chem. Soc. (Japan)*, **48**(6)(1975), 1939.
8. Kenneth A. Windhorst and Jack H. Lunsford, *J. Amer. Chem. Soc.*, **97**(1975), 1407.
9. W. Burton Williamson, Dennis R. Flentge and Jack H. Lunsford, *J. Catal.*, **37** (1975), 258.
10. Denise Barthomeuf and Baik-Hyon Ha, *Trans. Faraday Soc.*, **69**(1973), 2147.
11. 服部忠, 久保田裕, 觸媒 **17**(1975), 48.
12. 申斗겸, 하백현, 문세기, “화학공학”, **8** (1970), 231.
13. W. B. Donald, “Zeolite molecular seives,” John Wiley, N. Y. (1974), 656.
14. E. B. Sevtlanov and R. M. Flid, *Zh. Fiz. Khim.* **40**(1966), 3055.